

## О КОЛЕБАНИЯХ ЭЛЕКТРОМАГНИТНОГО ПОЛЯ ВБЛИЗИ ПЛАЗМЕННОГО ФОКУСА И Z-ПИНЧА

С.К.Жданов, Б.А.Трубников

Показано, что наличие периферийной плазмы, окружающей пинч, приводит к локализации вблизи него электромагнитных волн, способных ускорять частицы. При слабом затухании волн этим механизмом, по-видимому, можно объяснить обнаруженные недавно [1] пики в энергетическом спектре ускоренных дейтонов.

1. В недавних экспериментах [1] было обнаружено большое число ( $\sim 10$ ) пики в энергетическом спектре дейтонов, ускоренных до энергий  $\sim 1 \div 4 \text{ мэв}$  в плазменном фокусе (см. рисунок). По нашему мнению наблюдаемая структура спектра объясняется возбуждением вблизи пинча стоячих монохроматических колебаний ускоряющего электрического поля  $E_z$  в условиях, когда спектр частот дискретный и возбуждена лишь основная гармоника колебаний. Ниже показано, что такие условия возникают, если пинч окружен периферийной плазмой с плотностью порядка  $\sim 10^{12} \text{ см}^{-3}$ , которая подобно ионосфере Земли отражает низкочастотные радиоволны. Заметим, что полное время образования ускоренных частиц оценивается из опыта как интервал  $\Delta t \sim 10 \text{ нсек}$  после момента "особенности" и при наличии  $\sim 10$  пики это должно соответствовать периоду колебаний  $\sim 1 \text{ нсек}$ , что близко к ларморовскому периоду дейтонов в поле  $B \sim 10^6 \text{ Гс}$  на границе пинча с радиусом  $a \sim 0,2 \text{ см}$  при токе  $I \sim 1 \text{ Ma}$ .

2. Рассмотрим простейшую модель цилиндрического Z-пинча с током  $I$ , окруженного плазмой с постоянной плотностью  $n_0$ . В этой плазме может распространяться необыкновенная волна с компонентами

$E_{r,z}(r,t) \sim \exp(-i\omega t)$  и для  $E_z$  имеем волновое уравнение

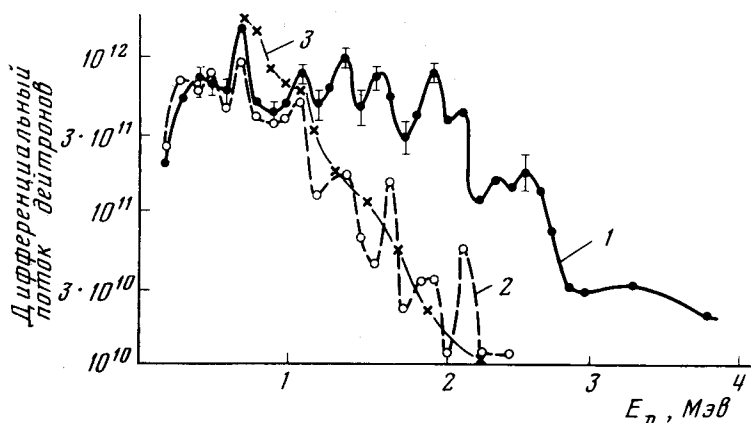
$$\frac{d}{r dr} r \frac{dE}{dr} + \frac{\omega^2}{c^2} \epsilon_{\text{эфф}} E = 0; \quad \epsilon_{\text{эфф}} = \frac{\xi^2 - \eta^2}{\xi}; \quad \xi = 1 - \sum_{e,i} \frac{\omega_0^2}{\omega^2 - \omega_B^2};$$

$$\eta = - \sum_{e,i} \frac{\omega_0^2}{\omega^2 - \omega_B^2} \frac{\omega_B}{\omega}, \quad (1)$$

где  $\omega_0$ ,  $\omega_B$  — плазменные и циклотронные частоты ( $a = e, i$ ). В пределе  $m_e \rightarrow 0$  находим

$$\xi = 1 + \frac{\alpha x^2}{1-x^2}; \quad \eta = \frac{\alpha x^3}{1-x^2}; \quad \epsilon_{\text{эфф}} = 1 - \frac{\alpha}{(1-\alpha)^2} - \frac{\alpha^2 x^2}{1-\alpha} - \frac{\alpha/(1-\alpha)^2}{(1-\alpha)x^2-1},$$

где  $x = \omega/\omega_{Bi} = r(\omega Mc^2/2Ie)$  и  $\alpha = (\omega_{0i}/\omega)^2$  — параметр. (2)



Экспериментальные энергетические спектры ускоренных лейтонов [1]. Кривые 2 и 3, полученные с помощью метода ядерных эмульсий и активационной методикой, соответствуют одному и тому же разряду. Для кривой 1 величина активности мишени на порядок выше

Предполагая  $\alpha \ll 1$ , используем приближение  $\epsilon_{\text{эфф}} = 1 - \alpha^2 x^2$ . Тогда уравнение (1) сводится к уравнению Шредингера для цилиндрического осциллятора

$$\frac{1}{x} \frac{d}{dx} x \frac{dE}{dx} + \beta^2 (1 - \alpha^2 x^2) E = 0, \quad \text{где } \beta = \frac{2eI}{Mc^3} \ll 1 \left( \beta \sim \frac{1}{30} \right), \quad (3)$$

квантовые уровни которого  $\epsilon_{\text{осц}} = 2\hbar\omega_{\text{осц}} \left( n + \frac{1}{2} \right)$  в нашем случае эквивалентны соотношению  $\beta = (4n + 2)a$ , определяющему спектр частот электромагнитных колебаний  $\omega = \omega_n = \omega_{\text{осц}} \sqrt{(4n + 2)/\beta}$ . При более строгом рассмотрении следует учесть наличие ионного гибридного резонанса в точке  $x_\infty = 1/\sqrt{1-a} \approx 1$ , которую считаем совпадающей с границей пинча  $r = a$ , ввиду ожидаемого соотношения  $\omega = \omega_{B_i} (r = a)$ . Вводя  $y = (1-a)x^2$ ,  $E = f(y) \exp(-a\tilde{\beta}y/2)$ ,  $\tilde{\beta} = \beta/(1-a)^{3/2}$ , из соотношений (1) – (2) находим уравнение

$$y f''(y) + (1 - a\tilde{\beta}y) f'(y) + \frac{a\tilde{\beta}^2}{4} \left[ a + \frac{1}{a} - 3 - \frac{2}{\tilde{\beta}} - \frac{1}{y-1} \right] f(y) = 0, \quad y \geq 1 \quad (4)$$

приближенным решением которого при  $a \ll 1$  являются функции:

$$f(y) = \begin{cases} A_1 \Psi(a, 1, a\tilde{\beta}y), & a = \frac{1}{2} - \frac{\tilde{\beta}}{4}(a + \frac{1}{a} - 3), \text{ при } y - 1 \gg a \\ A_2 \epsilon \exp\left(-\epsilon \frac{1 - a\tilde{\beta} + b}{2}\right) \Phi\left(1 + \frac{a\tilde{\beta}^2}{4b}, 2, \epsilon b\right), & b = \sqrt{1 + 3a\tilde{\beta} - \tilde{\beta}^2}, \text{ при } \epsilon \ll 1 \end{cases}$$

удовлетворяющие условию  $E_z \rightarrow 0$  при  $y \rightarrow \infty$  и  $y \rightarrow 1$ . Здесь  $\Phi$  и  $\Psi$  – вырожденные гипергеометрические функции [2]. Сшивка функций (5) в общей области определения  $a \ll \epsilon \ll 1$  приводит к условиям

$$\Psi(a, 1, a\tilde{\beta}) = 0; A_2 = -a\tilde{\beta} \Psi(a, 2, a\tilde{\beta}) A_1 \quad (6)$$

определяющим спектр колебаний и связь амплитуд.

Нетрудно проверить, что с точностью до величин порядка  $\delta = \ln^{-1}\left(\frac{2}{\beta^2}\right) \ll 1$ , спектр при  $a \ll 1$  совпадает с найденным выше. Таким образом наличие периферийной плазмы приводит к образованию вблизи пинча резонансной полости, в которой могут возбуждаться локализованные колебания электромагнитного поля.

3. Рассмотрим качественно три возможных механизма раскачки описанных колебаний. Как известно [3], в ряде экспериментов осуществляется нагрев плазмы путем поглощения внешней поперечной волны в области гибридного резонанса. Однако, очевидно, возможен и обратный эффект – излучение внешней волны, образующейся путем трансформации из "внутренних" волн, с достаточно высоким уровнем возбуждения. Предположим, что точка резонанса  $x_\infty = (1-a)^{-1/2}$  совпадает с поверхностью пинча. Тогда соотношение

$$E_r = -i \frac{\eta}{\xi} E_z = \frac{i a x^3}{(1-a)x^2 - 1} E_z \quad (7)$$

показывает, что в ней  $E_r \neq 0$  при  $E_z = 0$ . Используя формулы (5) – (7), для основной моды колебаний, например, находим  $a = \beta/2(1 + 2\delta)$  и

$$E_z = -2i(E_r^0/\beta\delta) e^{-\beta^2 y/4} \Psi(-\delta, 1, \beta^2 y/2), \quad y - 1 \gg a, \quad (8)$$

где  $E_r^0 = E_r|_{y=1}$  — амплитуда "внутренней" продольной волны. Максимальное значение  $E_z$  достигается в точке  $y_{max} \approx \delta/\beta^2$ , что соответствует  $r_{max}/a \sim \sqrt{\delta}/\beta \sim 10$ , причем  $|E_{z_{max}}/E_r^0| \sim 2/\beta\delta > 1$ ,  $|E_r(y_{max})/E_{z_{max}}| \sim \sqrt{\delta}/2 < 1$ , так что для ускорения дейтонов полем  $E_{z_{max}}$  за время  $\sim 1$  нсек до энергии  $\epsilon \sim 4$  мэв достаточно иметь  $E_r^0 \sim 10^2$  CGSE ( $E_r^0/B_0 \sim 10^{-4} << 1$ ). Такие поля  $E_r$  могут возбуждаться при схлопывании ударной волны и возбуждении магнитозвуковых волн в пинче.

Отметим также возможность раскачки поля  $E_z$  на собственных малых колебаниях границы пинча [4]. Пусть  $r_{gr}(t) = a + s \cos \omega t$ ,  $|s| << a$ . Тогда, используя условие  $E_z = -v_r B/c$  на границе находим без учета затухания

$$E_z(r, t) = \frac{s \omega}{c} B_0 \frac{E_\omega(r)}{E_\omega(a)} \sin \omega t, \quad (9)$$

где  $E_\omega(r)$  — решение задачи (1), (2) ( $E_\omega \rightarrow 0$  при  $r \rightarrow \infty$ ). Если частота колебаний границы  $\omega$  близка к собственной частоте внешней полости, определяемой условием (6), то можно ожидать резонансного возбуждения поля со значительной амплитудой, так как  $E_\omega(a) \rightarrow 0$  при  $\omega \rightarrow \omega_n$ .

Однако наиболее значительная амплитуда получается, если считать, что в критический момент особенности  $t = 0$  резко возрастает турбу-

лентное сопротивление пинча  $\rho = \frac{m \nu_{\text{эфф}}}{n_0 e^2}$ ;  $\nu_{\text{эфф}} = \frac{e}{m_e j_0} \sum_k \gamma_k \frac{k}{\omega_k} W_k$  по-ви-

димому, за счет раскачки электростатических электронных циклотронных волн, плотность энергии которых  $W = \sum_k W_k$  нарастает с инкрементом  $\gamma \gtrsim \sqrt{\omega_B e \omega_B}$  [5], что приводит практически к мгновенному обрыву тока  $I$  в пинче. Тогда, используя аппроксимацию  $\epsilon_{\text{эфф}} = 1 - a^2 x^2$  для поля получим  $E_z = \sum_n E_n L_n(z) \exp(-z/2) \sin \omega_n t$ , где  $L_n(z)$  — полиномы Лагерра,  $z = r^2 \omega_{oi}^2 / \beta c^2$  и  $E_n = I \omega_n / c^2 (n + 1/2)$ , в частности при  $n = 0$  имеем амплитуду  $E_0 = \frac{1}{2} \beta B_0 (r = a)$ , если  $\omega_{n=0} = \omega_B$  ( $r = a$ ). Такие поля также могут ускорять дейтоны до наблюдаемых энергий в несколько Мэв.

Авторы признательны М.А.Леоновичу, Н.В.Филиппову, И.А.Беляевой, Т.И.Филипповой и Ю.С.Максимову за плодотворные дискуссии по работе.

Институт атомной энергии  
им. И.В.Курчатова

Поступила в редакцию  
15 февраля 1978 г.

## Литература

- [1] N.V.Filippov et. al. VIII — Eur. Conf. on Contr. Fusion and Plasma Phys., I, 63, (Prague 1977).
- [2] Г.Бейтмен, А.Эрдейн. Высшие трансцендентные функции, М., изд.Наука, 1, 237, 1965.
- [3] В.Е.Голант, А.Д.Пилия. УФН, 104, 413, 1971.

[ 4 ] Б.А.Трубников. Физика плазмы и проблема УТР, изд. АН СССР,  
1, 289, 1958.

[ 5 ] Д.Г.Ломинадзе. Циклотронные волны в плазме, Тбилиси, изд.  
"Мецниереба", стр.122, 1975.

---